

Välikokeessa on neljä tehtävää.

**1)** Ohessa on yksihuikkasmallin mukainen energiatasokaavio Lilleyn kirjan mukaan.

a) Selitä lyhyesti, miten merkittävästi potentiaaliakuopan muodon yksityiskohdat vaikuttavat energiatasojen keskinäiseen asemaan (1 p).

b) Mikä ratkaiseva oivallus johti siihen, että energiatasojen laskettu asema saatiin noudattamaan kokeellisia havaintoja (1 p)?

c) Selosta lyhyesti tärkeimpiä näistä kokeellisista havainnoista (1 p).

d) Päätteli, mitkä kaavion mukaan olisivat nuklidien  $^{209}\text{Bi}$  ( $Z = 83$ ) ja  $^{207}\text{Tl}$  ( $Z = 81$ ) perustilan spin ja pariteetti (1 p).

e) Mitkä ovat nuklidin  $^{18}\text{F}$  ( $Z = 9$ ) perustilan spinin ja pariteetin mahdolliset arvot yksinkertaisen yksihuikkasmallin mukaan (2 p)? Saat bonuspisteen, jos tiedät, mitkä näistä mahdollisista arvoista ovat todennäköisimmät.

**2)** Tarkastele  $^{22}\text{Na}$ -ytimen  $\beta^+$ -hajoamista  $^{22}\text{Ne}$ :ksi ( $T_{1/2} = 2,60$  a). Massaylijäämät ovat:

–5182 keV ( $^{22}\text{Na}$ ) ja –8025 keV ( $^{22}\text{Ne}$ ). Tämä hajoaminen johtaa lähes 100 % haarautumissuhteella  $^{22}\text{Ne}$ :n viritystilalle, jonka viritysenergia on 1,275 MeV. Mikä on tämän hajoamisen  $\log f$ -arvo? (Oleta yksinkertaisuuden vuoksi, että kyseessä on puhdas  $\beta^+$ -hajoaminen.) Oheisessa Lilleyn kirjan kaaviossa on annettu  $\log f$  arvot. Käyrät, joiden kohdalla on negatiivinen protoniluvun arvo, liittyvät  $\beta^+$ -hajoamiseen.

**3)**  $^{241}\text{Am}$ -ytimen perustilan alfa hajoaminen syöttää tytärytimen,  $^{237}\text{Np}$ :n, viritystilaan, joka purkautuu gammasiirtyymällä suoraan perustilalle. Gammasiirtymän energia on 721,9 keV. Kyseisten alfa huikkasten liike-energia laboratoriokoordinaatistossa on 4834,3 keV.  $^{237}\text{Np}$ :n massaylijäämä on 44873,3 keV ja  $^4\text{He}$ :n massaylijäämä on 2424,9 keV. Määritä  $^{241}\text{Am}$ :n massaylijäämä.

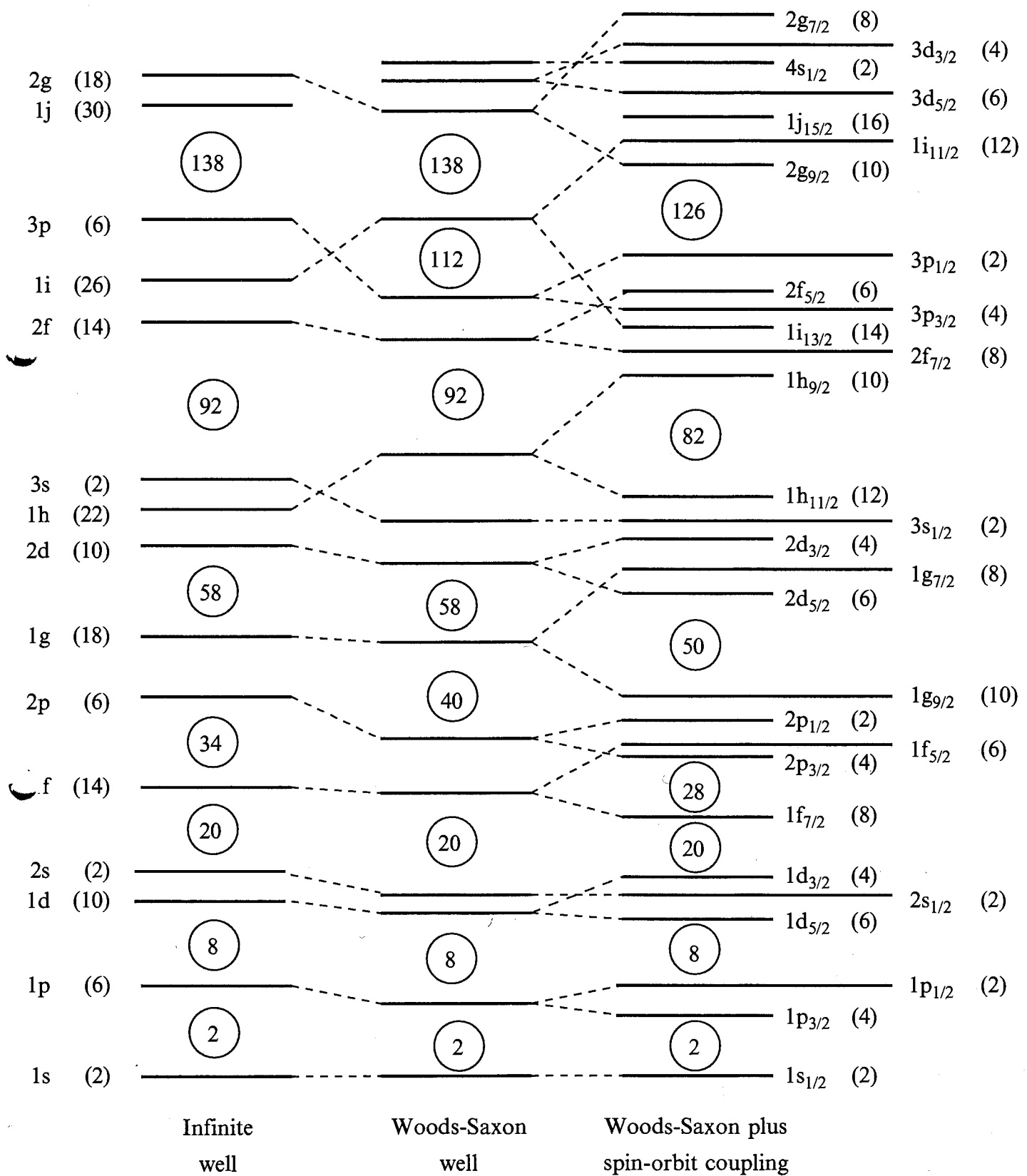
**Käännä sivua**

**4)** Oheinen kaavio kuvaa osaa  $^{224}\text{Ra}$ -ytimen energiatasoista. Tasojen energiat on annettu keV-yksiköissä, ja kuvassa on annettuna myös kahden tilan kokeellinen puoliintumisaika. **a)** Kopioi kaavio vastauspaperillesi ja piirrä siihen nuolia käyttäen mahdolliset tilojen väliset gammasiirtymät. **b)** Mitkä ovat  $4^+$ -tilaa purkavien siirtymien todennäköisimmät tyypit (esimerkiksi E2)? **c)** Käytä oheisia Weisskopfin arvioita ja ennusta, mikä  $4^+$ -tilaa purkavista siirtymistä on intensiivisin (lyhin osittaispuoliintumisaika). **d)** Siirtymän  $2^+ \rightarrow 0^+$  konversiokerroin on  $\alpha = 25$ . Mikä konversion osuus huomioon ottaen arvio  $2^+$ -ilan eliniälle (käytä Weisskopfin arvioita apunasi). **e)** Jos laskettu puoliintumisaika ja kokeellinen tulos poikkeavat toisistaan paljon (enemmän kuin kertaluvun verran), mikä voisi olla selitys?

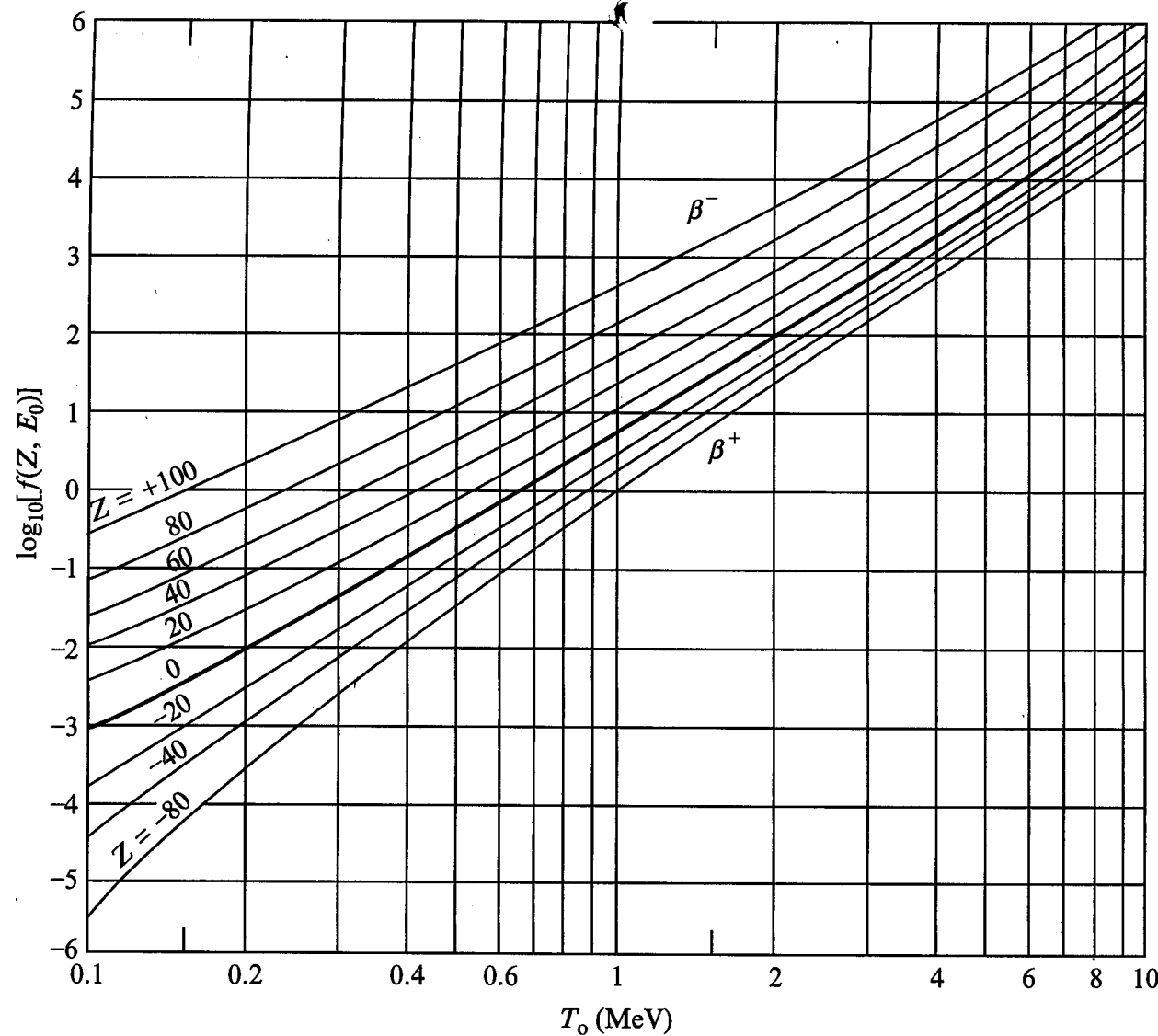
$4^+$	_____	250,8	0,18 ns
$1^-$	_____	216,0	
$2^+$	_____	84,4	0,74 ns
$0^+$	_____	0	
$^{224}\text{Ra}$			

**Taulukko:** Yksihiukkasarviot (Weisskopfin arviot) sähkömagneettisten siirtymien hajoamisvakioille  $\lambda$ . E on siirtymäenergia MeV-yksiköissä, ja  $\lambda$  on annettu yksiköissä  $\text{s}^{-1}$ . A on massaluku.

Sähköiset siirtymät/Electric transitions	Magneettiset siirtymät/Magnetic transitions
$\lambda(E1) = 1.0 \cdot 10^{14} \cdot A^{2/3} \cdot E^3$	$\lambda(M1) = 3.1 \cdot 10^{13} \cdot E^3$
$\lambda(E2) = 7.3 \cdot 10^7 \cdot A^{4/3} \cdot E^5$	$\lambda(M2) = 2.2 \cdot 10^7 \cdot A^{2/3} \cdot E^5$
$\lambda(E3) = 34 \cdot A^2 \cdot E^7$	$\lambda(M3) = 10 \cdot A^{4/3} \cdot E^7$
$\lambda(E4) = 1.1 \cdot 10^{-5} \cdot A^{8/3} \cdot E^9$	$\lambda(M4) = 3.3 \cdot 10^{-6} \cdot A^2 \cdot E^9$
$\lambda(E5) = 2.4 \cdot 10^{-12} \cdot A^{10/3} \cdot E^{11}$	$\lambda(M5) = 7.4 \cdot 10^{-13} \cdot A^{8/3} \cdot E^{11}$



**Figure 2.9** Sequences of bound single-particle states calculated for different forms of the nuclear shell-model potential. The number of protons (and neutrons) allowed in each state is indicated in parentheses and the numbers enclosed in circles indicate magic numbers corresponding to closed shells.



**Figure 3.8** The function  $f(Z, E_0)$ , defined in Equation (3.21), plotted against end-point energy  $T_0$  [from Evans (1955), p. 560]. Graphs are shown for different values of atomic number  $Z$  of the final nucleus. Positive values are for  $\beta^-$  decays and negative values are for  $\beta^+$  decays. Note that  $T_0$  is equal to the  $Q$  value if the parent and daughter nuclei are both in their ground states (neglecting the small amount of energy taken by the final nucleus). Otherwise,  $T_0 = Q + E_p^* - E_d^*$ , where  $E_p^*$  and  $E_d^*$  are the excitation energies of the parent and daughter nuclei, respectively. Reproduced by permission of The McGraw-Hill Companies.